

## بررسی تئوری و تجربی تاثیر قطر لوله سوخت فشار بالا انتکتور در عملکرد و آلایندگی موتورهای دیزلی

کارشناس ارشد، دانشکده مهندسی مکانیک دانشگاه تبریز

سعید غفارزاده

کارشناس، دانشکده مهندسی مکانیک دانشگاه تبریز

پیمان عباسی

کارشناس ارشد، دانشکده مهندسی مکانیک دانشگاه تبریز

محسن جعفری قاسم قشلاقی

### چکیده

در این مطالعه به صورت تئوری و تجربی تاثیر قطر لوله‌های فشار بالا سیستم سوخت رسانی (FIS) در عملکرد و آلایندگی موتورهای دیزلی مورد بررسی قرار می‌گیرد. نتایج شبیه‌سازی انجام گرفته، نشان می‌دهد که با افزایش قطر لوله‌ها، فشار محفظه پاشش، آهنگ پاشش سوخت و فشار لوله کاهش می‌یابد. برای بررسی تاثیر قطر لوله‌های سوخت بر میزان آلایندگی، تست ۸ مود حالت پایا مطابق استاندارد ECER96 بر روی یک موتور دیزلی انجام گرفت. نتایج نشان می‌دهد که با افزایش قطر لوله‌ها، میزان آلایندگی NOx کاهش ولی میزان UHC و CO افزایش می‌یابد. کلمات کلیدی: فشار پاشش، لوله سوخت فشار بالا، کارکرد، آلایندگی، موتور دیزلی.

## A Theoretical and Experimental Study of the Effect of Fuel Injection Pipe Diameter on the Diesel Engine Performance and Emissions

S. Ghaffarzadeh, P. Abbasi and M. Jafari

Faculty of Mechanical Engineering, University of Tabriz

### Abstract

In this study the effect of pipe diameter of the high pressure fuel injection system (FIS) on the performance and emissions of an off-road internal combustion diesel engine has been studied. Numerical simulation of the fuel pipe shows that the injection chamber pressure, rate of fuel injection and fuel pipe pressure decrease with increasing the pipe diameter. In order to investigate the effect of fuel pipe diameter on exhaust emissions, an off-road diesel engine has been tested according to an eight-mode steady-state test cycle based on the United Nations standard ECER96. Results show that an increase in the pipe diameter decreases the nitrogen oxides (NOx) emissions, but it increases the unburned hydrocarbons (UHC) and carbon monoxide (CO) emissions.

**Key words:** **Injection pressure, High pressure fuel pipe, Performance, Pollutant emission, Diesel engine.**

## ۱- مقدمه

روش دوم آن است که با استفاده از روش المان محدود (Finite Element) و با در نظر گرفتن معادلات پیوستگی و اندازه حرکت، معادلات مورد نظر به دست آورده شوند. به علت اینکه از اختلاف دما در نقاط مختلف سیستم صرفنظر می‌شود معادله انرژی در نظر گرفته نشده ولی در صورت لزوم می‌توان معادله انرژی را هم در نظر گرفت و همزمان با معادلات بالا حل کرد. به هر حال چون روش دوم درک فیزیکی بهتری از سیستم را ارائه می‌دهد لذا در این بررسی از آن استفاده می‌شود [۲، ۶ و ۷].

## ۱-۲- معادله پیوستگی

در یک حجم کنترل، معادله پیوستگی تعادل دبی جریان را بیان می‌کند. با توجه به اینکه جریان در لوله تک بعدی فرض شده بنابراین یک المان کوچک به ضخامت  $\delta x$  در لوله در نظر می‌گیریم. اگر  $m_i$  اندازه جرم ورودی و  $m_e$  اندازه جرم خروجی از المان فرضی باشد، طبق قانون بقاء جرم در داخل المان  $m_e - m_i$  است. با فرض اینکه  $\rho$  جرم حجمی سیال و  $v$  سرعت متوسط سیال در مقطع مورد نظر و  $A$  سطح مقطع لوله باشد داریم:

$$\begin{aligned} m_i &= \left( \int_0^t \rho \cdot v \cdot A dt \right)_1 \\ m_e &= \left( \int_0^t \rho \cdot v \cdot A dt \right)_2 \\ m_e - m_i &= (\rho_2 - \rho_1) \Delta x \cdot A \end{aligned} \quad (1)$$

که  $\rho_1$  چگالی اولیه سیال،  $\rho_2$  چگالی سیال بعد از گذشت زمان  $t$  و  $A = \Delta x \cdot A$  دبی جریان سیال است، بنابراین داریم:

$$\rho \cdot A \cdot v - \left[ \rho \cdot A \cdot v + \frac{\partial(\rho \cdot A \cdot v)}{\partial x} \cdot \Delta x \right] = \frac{\partial}{\partial t} (\rho \cdot A \cdot \Delta x) \quad (2)$$

که  $t$  و  $x$  به ترتیب متغیرهای مستقل زمان و مکان هستند. با صرفنظر از عبارات درجه بالاتر، به علت کوچک بودن آن و با سادهسازی رابطه ۲ داریم:

$$\frac{1}{A} \frac{\partial A}{\partial t} + \frac{1}{\rho} \frac{\partial \rho}{\partial t} \cdot \frac{\partial v}{\partial x} = 0 \quad (3)$$

$$\text{با توجه به فرض صلب بودن لوله می‌دانیم که } \frac{\partial A}{\partial t} = 0, \text{ پس} \\ \frac{1}{\rho} \frac{\partial \rho}{\partial t} \cdot \frac{\partial v}{\partial x} = 0 \quad (4)$$

از طرفی با توجه به رابطه  $\frac{\partial P}{\partial \rho} = c^2$  برای سرعت صوت در سیال و با تقسیم طرفین به  $dt$  داریم:

$$\frac{\partial \rho}{\partial t} = \frac{1}{c^2} \frac{\partial P}{\partial t} \quad (5)$$

در موتورهای دیزلی سیستم سوخترسانی نقش مهمی را ایفا می‌کند، امروزه به دلیل اهمیت این سیستم با تغییراتی که بر روی پمپ انژکتور، لوله‌های انژکتور و خود انژکتور انجام می‌گیرد، بدون تغییر در سایر اجزا موتور می‌توان میزان آلایندگی این موتورها را به میزان زیادی کاهش داد. برای بهینه کردن سیستم سوخترسانی در موتورهای دیزلی مطالعات زیادی انجام گرفته است. اصول حاکم بر کارکرد سیستم‌های پاشش سوخت متداول کم و بیش یکسان است. در همه این سیستم‌ها ابتدا سوخت توسط یک مرز متحرک (عموماً پلانچر) فشرده شده و سپس با عبور از یک سوپاپ تحويل، وارد لوله تحت فشار می‌گردد، با این تفاوت که در پمپ‌های نوع خطی به ازای هر سیلندر یک پلانچر وجود دارد ولی در پمپ‌های نوع دورانی بدون توجه به تعداد سیلندرهای موتور، در پمپ انژکتور فقط یک پلانچر وجود دارد و سوخت فشرده شده به طرق مختلف بین نازل انژکتورهای سیلندرها توزیع می‌شود. سوخت بعد از طی مسیر لوله تحت فشار وارد محفظه نازل می‌شود و در اثر نیروی فشار سوزن نازل باز شده و پاشش صورت می‌گیرد [۱ و ۲]. کوچی یمن و همکارانش [۳] نشان دادند که با کاهش نرخ پاشش اولیه سوخت میزان NOx و آلودگی صوتی کاهش می‌یابد و میزان Smoke نیز با افزایش نرخ متوسط پاشش سوخت کاهش می‌یابد، تاب و همکارانش [۴] نیز میزان بهینه‌ای از نرخ پاشش سوخت را با توجه به دور و بار موتور برای کاهش میزان NOx و PM معرفی کردند. در این مطالعه ابتدا معادلات حاکم بر لوله‌های فشار بالا مطرح خواهد شد، سپس نتایج حاصل از شبیه‌سازی عملکرد سیستم پاشش سوخت (FIS) مورد بررسی قرار خواهد گرفت و در انتها نتایج تجربی آلایندگی با استفاده از لوله‌های با قطر ۱.۵ و ۱.۷۵ و ۲ میلی‌متر در موتور دیزلی MT4.244 مورد مقایسه قرار خواهد گرفت.

## ۲- معادلات حاکم

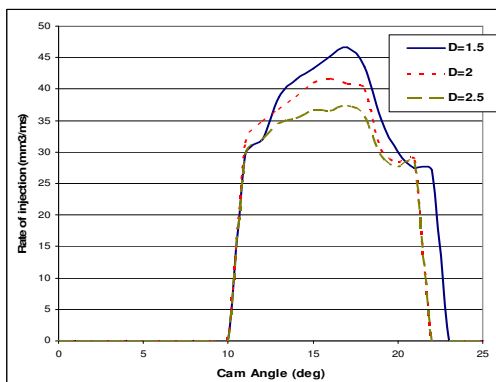
برای به دست آوردن معادلات حاکم بر لوله‌های فشار بالا در روش را می‌توان در نظر گرفت. روش نخست آن است که معادلات کلی حاکم بر مکانیک سیالات را در نظر گرفته و سپس با ساده نمودن جمله‌های مختلف آن برای سیستم مورد نظر، مثلاً با استفاده از روش مرتبه بزرگی (Order of Magnitude) یا روش‌های دیگر به معادلات نهائی رسید [۵].

### ۳- شبیه سازی و پارامتر های مورد بررسی

مدل مورد استفاده در این بررسی برای پیش‌بینی عملکرد سیستم پاشش سوخت (FIS) در دانشگاه تبریز توسعه داده شده است. در این مدل با تعیین مشخصات پمپ انژکتور، لوله‌های فشار بالا و نازل‌ها برنامه اجرا می‌شود و می‌توان به راحتی تاثیر هر یک از پارامترهای سیستم از جمله قطر لوله‌های فشار بالا را در عملکرد سایر اجزا مانند فشار داخل سیلندر مشاهده کرد. این برنامه برای قطراهای مختلف اجرا و نتایج جالبی از آن استخراج شدند [۹، ۱۰، ۱۱ و ۱۲].

**۱- تاثیر قطر لوله تحت فشار مابین پمپ انژکتور و نازل‌ها در فشار پاشش سوخت به محافظه احتراق**

قطر لوله یکی از تأثیرگذارترین پارامترها در مشخصه‌های پاشش سوخت است. تاثیر این تغییر بر روی فشار پاشش، آهنگ پاشش سوخت و فشار سوخت در قسمت میانی طول لوله در شکل‌های (۱) و (۲) نشان داده شده است. همان‌طوری که مشاهده می‌شود در اثر افزایش قطر لوله تحت فشار، فشار محافظه پاشش، آهنگ پاشش سوخت و فشار لوله شدیداً افت پیدا می‌کند و در مقابل، کاهش قطر لوله سبب پیدایش پیک‌های فشار می‌شود. کوچک شدن قطر لوله سبب کاهش حجم سوخت در لوله و بالا رفتن فشار در اثر تغییر حجم محافظه پمپ می‌شود. از طرف دیگر کاهش قطر لوله سبب افزایش تلفات اصطکاکی دیواره لوله در برابر حرکت سیال می‌شود، ولی این عامل تاثیر چندانی در کاهش فشار نشان نمی‌دهد. نکته جالب در اینجا مشاهده پس پاشش در لوله تحت فشار با قطر بالاتر است که حاکی از کندی پاسخ به سیستم و احتمال بی‌اعتبار شدن فرض جریان تک بعدی در لوله است.



شکل ۱- تاثیر قطر لوله تحت فشار در آهنگ پاشش سوخت با استفاده از مدل شبیه‌سازی

با مشتق‌گیری از  $P(x,t)$  نسبت به زمان داریم:

$$\frac{dP}{dt} = \frac{\partial P}{\partial t} + v \frac{\partial P}{\partial x} \quad (6)$$

با جایگذاری رابطه ۶ در روابط ۱ و ۲ معادله پیوستگی به شکل زیر در می‌آید:

$$\rho c^2 \cdot \frac{\partial v}{\partial x} + \frac{\partial P}{\partial t} + v \frac{\partial P}{\partial x} = 0 \quad (7)$$

### ۲-۲- معادله اندازه حرکت

معادله اندازه حرکت از قانون دوم نیوتون نتیجه می‌شود، طبق این قانون مجموع نیروهای واردہ بر المان برابر است با حاصلضرب جرم المان در شتاب آن، یعنی:

$$P \cdot \frac{\partial A}{\partial X} \cdot \delta x + P \cdot A - \left[ P \cdot A + \left( \frac{\partial}{\partial x} (P \cdot A) \delta x \right) \right] = \quad (8)$$

$$\tau_0 \cdot \pi \cdot d \cdot \delta x - \rho \cdot A \cdot g \cdot \delta x \cdot \sin \alpha = \rho \cdot A \cdot \delta x \cdot \frac{dv}{dt}$$

که در آن  $P$  فشار،  $d$  قطر لوله و  $\tau_0$  تنش برشی از اصطکاک سیال بر روی دیواره لوله است. با فرض  $A = \frac{\pi d^2}{4}$  و ساده‌سازی رابطه ۸ داریم:

$$\frac{P}{\rho \cdot A \cdot d^2} \frac{\partial (d^2)}{\partial x} - \frac{1}{\rho} \frac{\partial P}{\partial x} - \frac{4\tau_0}{\rho \cdot d} - g \cdot \sin \alpha = \frac{dv}{dt} \quad (9)$$

از رابطه دارسی- ویسیاخ افت هد در لوله برابر است با:

$$\frac{\Delta P}{\rho} = f \frac{\Delta l \cdot v^2}{d^2} \quad (10)$$

که در آن  $\Delta l$  طول لوله،  $\Delta P$  افت فشار،  $f$  ضریب اصطکاک و  $v$  سرعت متوسط در لوله می‌باشد. با استفاده از توازن نیروها برای جریان پایا در لوله و جاگذاری رابطه ۱۰ در رابطه ۹ می‌توان نوشت:

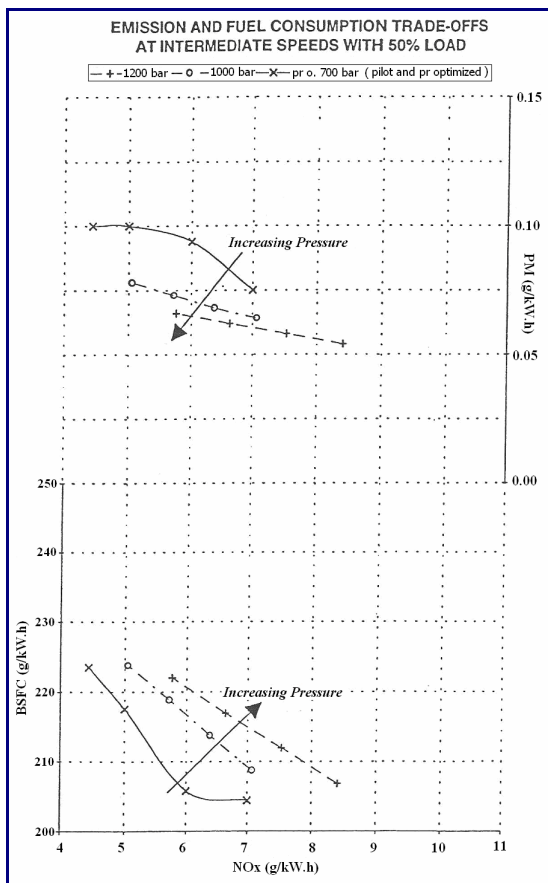
$$\frac{dv}{dt} + \frac{1}{\rho} \frac{\partial P}{\partial x} + \frac{f \cdot v^2}{2d} = 0 \quad (11)$$

چون نیروی اصطکاک بایستی در خلاف جهت حرکت باشد در رابطه بالا  $v^2$  را به صورت  $v \cdot |v|$  نوشته و با مشتق‌گیری از  $v(x,t)$  نسبت به زمان در رابطه ۱۱، معادله نهایی اندازه حرکت به صورت زیر در می‌آید:

$$\frac{\partial v}{\partial t} + \frac{1}{\rho} \frac{\partial P}{\partial x} + v \frac{\partial v}{\partial x} + \frac{f \cdot v \cdot |v|}{2d} = 0 \quad (12)$$

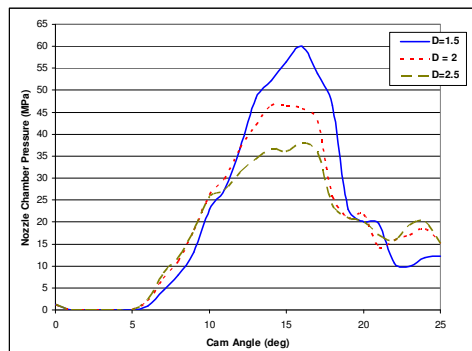
حل هم زمان رابطه ۷ (معادله پیوستگی) و رابطه ۱۲ (معادله اندازه حرکت)، معادلات حاکم بر جریان سیال لوله را تشکیل می‌دهند. متغیرهای وابسته فشار  $P$  و سرعت متوسط  $v$  در سطح مقطع و متغیرهای مستقل، فاصله  $x$  در طول لوله که از جهت بالادست اندازه گرفته می‌شود، و زمان  $t$  می‌باشد [۱۲، ۱۱ و ۱۰]

می شود با افزایش قطر لوله ها، به خاطر کاهش فشار پاشش و در نتیجه کاهش بارده اختلاط سوخت و هو، احتراق ناقص تری را در محفظه احتراق شاهد خواهیم بود، که با کاهش دما باعث کاهش آلایندگی NOx در این حالت خواهد شد.



شکل ۳- تاثیر فشار پاشش در منحنی های Trade off  
جدول ۱- مشخصات موتور MT4.244

Stroke	100 mm
Bore	127 mm
Number of Cylinders	4-in line
Cubic Capacity	3.99 Lit
Compression ratio	17.5:1
Injection Pump	Rotary pump, WSK model
Injectors	BOSCH model
Injector Pipe Length	400 mm
Max power	82hp@2000rpm
Max Torque	360N.m@1300rpm



شکل ۲- تاثیر قطر لوله تحت فشار پاشش به محفوظه احتراق با استفاده از مدل شبیه سازی

#### ۲-۳- تاثیر قطر لوله تحت فشار بر میزان آلایندگی

با توجه نتایج شبیه سازی قطر لوله تحت فشار، تاثیر زیادی در فشار پاشش محفوظه احتراق خواهد داشت. بررسی انجام گرفته توسط موسسه تحقیقات موتور ریکاردو (Ricardo) در انگلستان نشان می دهد که فشار پاشش سوخت، شکل پاشش و پریود پاشش نقش بسیار مهمی در عملکرد موتور از لحاظ آلایندگی دارد. در شکل (۳) تاثیر فشار پاشش بر NOx، PM نشان داده است، همان طوری که مشاهده می شود با کاهش فشار پاشش، آلایندگی NOx و PM افزایش می یابد. بنابراین با توجه به هدف بهینه های در قطر لوله های فشار بالا در سیستم پاشش سوخت استفاده کرد تا بتواند استاندارد آلایندگی مورد نظر را ارضاء کند.

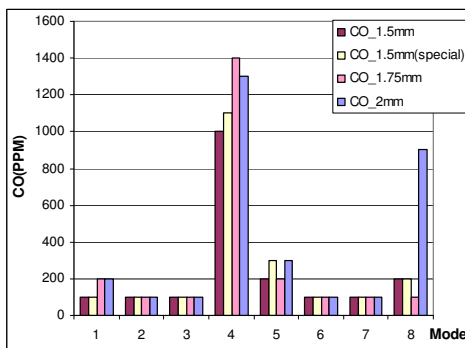
#### ۴- نتایج تجربی

برای بررسی نقش قطر لوله های فشار بالا از کشورها بر میزان آلایندگی خروجی از موتور، ابتدا لوله ها سوخت با طول ثابت و با قطر داخلی  $1/5$ ،  $1/75$  و  $2$  میلیمتر و  $1/5$  میلیمتر خاص که دارای صافی سطح بالایی است، تهیه و مطابق جدول (۲) تست ۸ مود آلایندگی بر اساس استاندارد ECER96 اروپا بر روی موتور دیزلی MT4.244 انجام شد. مشخصات عمومی موتور MT4.244 در جدول (۱) آورده شده است.

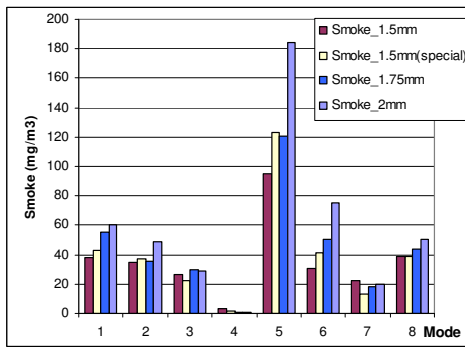
نتایج آلایندگی برای آلایندگی هیدروکربن نسوخته (UHC) (UHC) MT4.244 با لوله های با قطر متفاوت مطابق شکل (۴) نشان می دهد که با افزایش قطر لوله های فشار بالا به علت کاهش فشار پاشش و پودر نشدن ذرات سوخت و کاهش هوای در دسترس سوخت، میزان هیدروکربن نسوخته افزایش می یابد. در شکل (۵) میزان آلایندگی NOx برای لوله های مختلف در حالت ۸ مود نشان داده شده است، همانطوری که مشاهده

با افزایش قطر لوله‌ها در حالت بی‌باری (Idle) میزان CO در اثر احتراق ناقص افزایش می‌باید که به علت شروع دیر هنگام اشتعال و کاهش فشار پاشش سوخت می‌باشد.

در شکل‌های (۷) و (۸) نتایج ۸ مود آلایندگی برای میزان دوده (Smoke) و کدری (Opacity) (Smoke) اگزوز برای لوله‌های مختلف نشان داده شده است، همانطوری که مشاهده می‌شود با افزایش قطر لوله‌ها، به علت افزایش میزان ذرات معلق در اگزوز و آلاینده‌هایی از قبیل ذرات معلق (PM) و اکسیدهای کربن، میزان دوده و کدری اگزوز افزایش می‌باید.



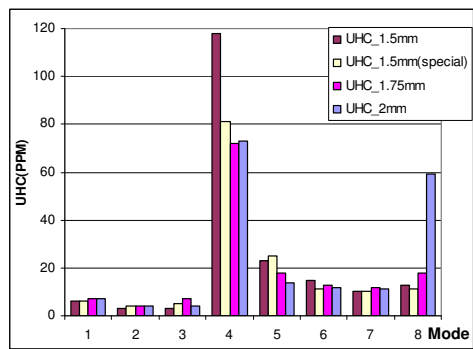
شکل ۶- نتایج ۸ مود آلایندگی برای آلاینده CO با قطر ۲.۰mm و ۱.۷۵mm خاص، ۱.۵mm و ۱.۵mm



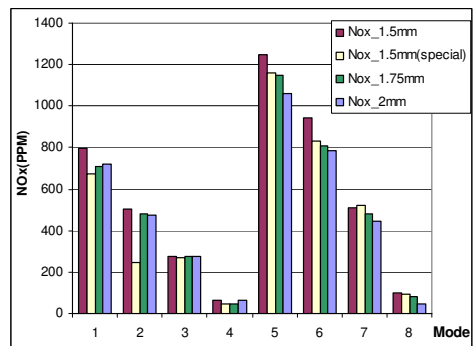
شکل ۷- نتایج ۸ مود آلایندگی برای دوده (Smoke) با قطر ۲.۰mm و ۱.۷۵mm خاص، ۱.۵mm و ۱.۵mm

جدول ۲- شرایط ۸ مود آلایندگی برای موتورهای دیزلی  
کشاورزی و صنعتی مطابق استاندارد ECER96 اروپا

شرایط	مود
دور توان بیشینه و ۱۰۰٪ بار	۱
دور توان بیشینه و ۷۵٪ بار	۲
دور توان بیشینه و ۵۰٪ بار	۳
دور توان بیشینه و ۱۰٪ بار	۴
دور گشتاور بیشینه و ۱۰۰٪ بار	۵
دور گشتاور بیشینه و ۷۵٪ بار	۶
دور گشتاور بیشینه و ۵۰٪ بار	۷
دور مینیمم و بدون بار	۸



شکل ۴- نتایج ۸ مود آلایندگی برای آلاینده UHC با قطر ۲.۰mm و ۱.۷۵mm خاص، ۱.۵mm و ۱.۵mm



شکل ۵- نتایج ۸ مود آلایندگی برای آلاینده NOx با قطر ۲.۰mm و ۱.۷۵mm خاص، ۱.۵mm و ۱.۵mm

در شکل (۶) نتایج ۸ مود آلایندگی برای آلاینده CO با قطر ۲.۰mm و ۱.۷۵mm خاص، ۱.۵mm و ۱.۵mm نشان داده شده است، همانطوری که مشاهده می‌شود

#### ۶- نتیجه‌گیری

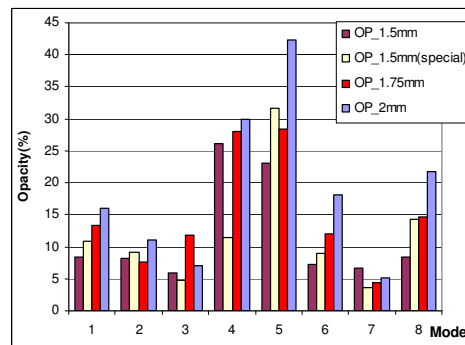
در این مطالعه تاثیر قطر لوله‌های فشار بالا سیستم FIS بر کارایی و میزان آلایندگی موتورای احتراق داخلی دیزلی بررسی شد. در شبیه‌سازی انجام گرفته برای سیستم پاشش سوخت مشخص شد که با افزایش قطر داخلی لوله‌های فشار بالا، فشار محفظه پاشش، آهنگ پاشش سوخت و فشار لوله شدیداً افت پیدا می‌کند و در مقابل، کاهش قطر لوله سبب پیدایش پیک‌های فشار می‌شود. هم چنین با توجه به نتایج تجربی مشخص شد که با کاهش فشار پاشش به علت اختلال بد سوخت و هوا، مقدار آلایندگهای CO, UHC و مقدار NOx به علت احتراق ناقص کاهش می‌یابد، با افزایش میزان ذرات معلق و اکسیدهای کربن میزان دود و کدری اگزوژن نیز افزایش می‌یابد. با کاهش فشار پاشش محفظه احتراق در اثر افزایش قطر لوله‌ها، مخلوط هوا و سوخت به صورت خوب انجام نگرفته و احتراق کاملی ایجاد نمی‌شود و سوخت تامین شده برای احتراق به هدر رفته و توان تولیدی موتور کاهش می‌یابد.

#### سپاس‌گزاری‌ها

در اینجا از امور تحقیقات مهندسی شرکت موتورسازان (تراکتورسازی ایران) به خاطر کمک در تهیه لوله‌های فشار بالای سوخت و انجام آزمایشات تجربی بر روی موتور دیزلی MT4.244 تشکر می‌کنیم. همچنین از مرحوم دکتر وهاب پیروزپناه برای کمک در ویرایش نهایی مقاله کمال تشکر و قدردانی را داریم.

#### مراجع

- [1] Aesoy, V., Engja, H., and Skarboe, L.A., "Fuel Injection System Design, Analysis and Testing", SAE 96-2001, 1996.
- [2] Kiijarvi, J, "Diesel Fuel Injection System Simulation", Dissertation for the degree of Technology, Helsinki University of Technology (Finland), 2003.
- [3] Yamane K. and Nakatani K., "Fuel Injection Rate Shaping and Its Effect on Exhaust Emissions in a Direct-Injection Diesel Engine Using a Spool Acceleration Type Injection System", SAE 970347, 1997.
- [4] Tanabe, K., Kohketsu, S., and Nakayama, S., "Effect of Fuel Injection Rate Control on Reduction of Emissions and Fuel Consumption in a Heavy Duty DI Diesel Engine", SAE 2005-01-0907, 2005.



شکل ۸- نتایج ۸ مود آلایندگی برای کدری یا تیرگی ۱.۵mm, ۱.۵mm, ۱.۷۵mm و ۲.۰mm اگزوز برای لوله‌های با قطر (Opacity)

۵- تاثیر قطر لوله تحت فشار بر توان ترمیزی تولیدی با توجه به شکل (۲) مشاهده می‌شود که قطر لوله تحت فشار تاثیر زیادی در فشار پاشش در محفظه احتراق دارد و طبق بررسی ریکاردو که در شکل (۳) نشان داده شده است، فشار پاشش بر مصرف سوخت ویژه BSFC تاثیر دارد و با کاهش فشار پاشش سوخت به محفظه احتراق مصرف سوخت ویژه کاهش می‌یابد. طبق رابطه زیر برای توان تولیدی موتور داریم:

$$P_b = M_f / BSFC \quad (12)$$

که در آن  $M_f$  جرم سوخت تامین شده در واحد زمان،  $P_b$  توان ترمیزی موتور است. مصرف سوخت ویژه و  $BSFC$  با جرم سوخت تامین شده رابطه مستقیم و با مصرف سوخت ویژه رابطه عکس دارد و با کاهش  $BSFC$  توان تولیدی در جرم سوخت تامین شده ثابت، افزایش می‌یابد. ولی رابطه بالا در ایده‌آل ترین حالت پیشنهاد شده است و در واقع با کاهش فشار پاشش محفظه احتراق مخلوط هوا و سوخت به صورت خوب انجام نگرفته و احتراق کاملی ایجاد نمی‌شود و سوخت پاشیده شده به صورت آلایندگهای اگزوژن موتور مانند هیدروکربن نسوخته (UHC) و ذرات معلق (PM) از محفظه احتراق خارج می‌شود [۱۳] و بنابراین این احتراق ناقص، باعث کاهش قدرت تولیدی موتور و هدر رفتن سوخت می‌شود. نتایج تجربی نشان داد که در حالت استفاده از لوله‌های با قطر داخلی 2mm نسبت به لوله‌های با قطر داخلی 1.5mm حدوداً 3.5% توان تولیدی کاهش یافت.

- محمدتقی، توسعه یک مدل ریاضی جهت پیشگویی مشخصه‌های یک سیستم پاشش سوخت مجهز به پمپ واحد، چهارمین همایش بین‌الملل موتورهای درونسوز، تهران (ایران خودرو)، آبان ۱۳۸۴.
- [۱۱] اکبرپوران، ابراهیم، تائید مدل ریاضی پیش‌بینی فشار پاشش با داده‌های FIS‌های مختلف و تلفیق آن به GMZM. پایان‌نامه دوره کارشناسی ارشد، دانشکده مهندسی مکانیک، دانشگاه تبریز، ۱۳۷۲.
- [۱۲] قوامی، سید احمد، مدل ریاضی پاشش سوخت در موتورهای دیزلی با پاشش مستقیم، پایان‌نامه دوره کارشناسی ارشد، دانشکده مهندسی مکانیک، دانشگاه تبریز، ۱۳۶۹.
- [۱۳] Challen, B., Baranescu, R., "Diesel Engine Reference Book", BUTTRWORTH HEINEMANN Publishing, 1999.
- [۵] Becchi, G.A., "Analytical Simulation of Fuel Injection in Diesel Engines", SAE 71-0568, 1971.
- [۶] Kumar, K., Gaur, R.R., Gaur, R.D., and Babu, M., "A Finite Difference Scheme for the Simulation of a Fuel Injection System", SAE 83-1337, 1983.
- [۷] Zhu, Y., and Reitz, R. D., "A 1-D gas dynamics code for subsonic and supersonic flows applied to predict EGR levels in a heavy-duty diesel engine", International Journal of Vehicle Design, Vol.22, Nos. 3/4, pp.227-252, 1999.
- [۸] Becchi, G.A., "Analytical Simulation of Fuel Injection in Diesel Engines", SAE 71-0568, 1971.
- [۹] [۹] جعفرآبادی، مزدک، شبیه‌سازی سیستم سوخت‌رسانی موتور دیزلی OM-457، پایان‌نامه دوره کارشناسی ارشد، دانشکده مهندسی مکانیک، دانشگاه تبریز، ۱۳۸۳.
- [۱۰] جعفرآبادی، مزدک، پیروزپناه، وهاب و شروانی‌تبار،